



## بررسی تاثیر روش‌های مختلف خاکورزی پنبه بر انتشار گاز اکسید نیتروس ( $N_2O$ ) و آمونیاک ( $NH_3$ ) در تناوب پنبه-گندم در منطقه داراب

ابوالقاسم قیصری<sup>۱</sup>، محمدرضا اصغری پور<sup>۲</sup>، سید محسن موسوی نیک<sup>۳</sup>، سید احمد قنبری<sup>۴</sup>

دريافت: ۹۸/۱۰/۵ پذيرش: ۹۹/۶/۲۵

### چکیده

برخی از روش‌های متداول خاکورزی بدون افزایش عملکرد باعث هدر رفت منابع و انتشار گازهای گلخانه‌ای به محیط می‌شوند. به منظور تعیین اثر روش‌های مختلف خاکورزی بر میزان انتشار اکسید نیتروز ( $N_2O$ ) و آمونیاک ( $NH_3$ ) در تناوب پنبه-گندم آزمایشی در قالب طرح بلوك‌های کامل تصادفی با ۳ تیمار در ۴ تکرار در ایستگاه تحقیقات کشاورزی داراب به مدت پنج سال انجام گرفت. تیمارهای تحقیق شامل کشت مستقیم (بی‌خاکورزی)، کم‌خاکورزی و خاکورزی مرسوم گندم و پنبه (به عنوان شاهد) بود. در تیمارهای کشت مستقیم و کم‌خاکورزی پس از برداشت گندم ۳۰ درصد وزنی از بقایای گندم در مزرعه پخش گردید. برآورد انتشار گاز  $N_2O$  و  $NH_3$  از مزرعه پنبه در تناوب با گندم با استفاده از مدل DNDC9.5 در سال‌های چهارم و پنجم کاشت انجام شد. داده‌های سه سال ابتدایی پژوهش جهت اعتبارسنجی مدل استفاده شد. نتایج اعتبارسنجی مدل نشان داد که مدل در شبیه‌سازی محيط خاک و انتشار گازهای  $N_2O$  و  $NH_3$  به خوبی عمل می‌کند. نتایج شبیه‌سازی نشان داد که میزان انتشار  $N_2O$  در خاکورزی مرسوم با اختلاف معنی دار، بیشترین مقدار و در بی‌خاکورزی کمترین مقدار را داشت. میانگین سالیانه انتشار  $N_2O$  در پنج سال آزمایش برای تیمارهای خاکورزی مرسوم، خاکورزی حداقل و بی‌خاکورزی به ترتیب ۴/۴۰، ۲/۸۰ و ۲/۱۴ کیلوگرم نیتروژن در هکتار در سال بود. اوج انتشار  $NH_3$  از خاک در هر سه تیمار در روز پنجم بعد از هر بار کوددهی اتفاق افتاد. براساس نتایج بدست آمده از این بررسی، استفاده از روش بی‌خاکورزی، مطلوب‌تر از سایر تیمارهای کشت پنبه در کشت دوگانه گندم-پنبه در شرایط مشابه با مطالعه حاضر می‌باشد.

**واژه‌های کلیدی:** انتشار گازهای گلخانه‌ای، بی‌خاکورزی، گرمایش جهانی، دنیتریفیکاسیون، مدل DNDC، چرخه نیتروژن

قیصری، ا.م.ر. اصغری پور، س.م. موسوی نیک و س.ا. قنبری. ۱۳۹۹. بررسی تاثیر روش‌های مختلف خاکورزی پنبه بر انتشار گاز اکسید نیتروس ( $N_2O$ ) و آمونیاک ( $NH_3$ ) در تناوب پنبه-گندم در منطقه داراب. مجله اکوفیزیولوژی گیاهی. ۱۹۸-۲۱۳: ۴۳.

۱- دانشجوی دکتری آگرواکولوژی، دانشکده کشاورزی، دانشگاه زابل، زابل، ایران. مسئول مکاتبات. gheicari@gmail.com

۲- دانشیار گروه زراعت، دانشکده کشاورزی، دانشگاه زابل، زابل، ایران

امکان بررسی گزینه‌های کاهش سهم بخش کشاورزی در تغییرات اقلیم را میسر می‌سازد. مدل DNDC (DeNitritification- DeComposition) نتایج رضایت‌بخشی در شبیه‌سازی چرخه‌های کربن و نیتروژن و انتشار گازهای گلخانه‌ای از اراضی کشاورزی ارایه می‌دهد. این مدل با استفاده از زبان برنامه‌نویسی C<sup>++</sup> نگارش شده است. مدل DNDC شامل دو مازول اصلی می‌باشد. مازول نخست می‌تواند رشد محصول، همچنین چرخه‌های کربن و نیتروژن در خاک را با استفاده از سه زیر مدل اقلیم خاک، رشد محصول و تجزیه خاک شبیه‌سازی کند (اوزوما و همکاران، ۲۰۱۵). مازول دوم می‌تواند فرایندهای بیوشیمیابی مرتبط با عوامل محیط خاک با استفاده از زیرمدل نیتریفیکاسیون، دنیتریفیکاسیون و تخمیر را شبیه‌سازی کند. این مدل ذخایر کربن خاک را به چهار بخش تقسیم می‌کند. در مرحله بعد ذخایر کربن بر اساس تفاوت در نسبت کربن به نیتروژن و سرعت تجزیه به سه زیر بخش بسیار ناپایدار، ناپایدار و مقاوم تقسیم می‌شوند (لی، ۱۹۹۴، ۱۹۹۵). این مدل برای تعیین پارامترهای فرایندهای بیوژئوشیمیابی خاک-گیاه از قوانین کلاسیک فیزیک، شیمی و زیست‌شناسی در ترکیب با معادلات تجربی به دست آمده از مطالعات آزمایشگاهی بهره می‌برد (کیلتراپ و همکاران، ۲۰۱۰).

ورودی‌های موردنیاز برای اجرای مدل DNDC شامل موقعیت مکانی محل اجرای مطالعه (شامل مختصات جغرافیایی)، اطلاعات روزانه هواشناسی (درجه حرارت حداقل، درجه حرارت حداکثر، نزولات، سرعت باد، تشعشع خورشیدی و رطوبت نسبی)، خصوصیات فیزیکی خاک (بافت، مقدار آب خاک در نقطه ظرفیت زراعی و پژمردگی دائم، وزن ظاهری خاک، واکنش خاک، هدایت هیدرولیکی خاک، نیتروژن معدنی و کربن آلی خاک)، و عملیات مدیریتی (شامل تناوب محصول، عملیات خاکورزی، جزئیات کاربرد کودهای شیمیابی و آلی، تاریخ‌های کاشت و برداشت و روش آبیاری) است. با اجرای مدل، DNDC رشد و عملکرد گیاه، میزان تسهیم تولید بیوماس گیاهی به برگ، ساقه، ریشه و دانه، نیتریفیکاسیون و دنیتریفیکاسیون، پروفایل‌های درجه حرارت و رطوبت خاک، مخازن/جریانات کربن خاک، مخازن/جریانات نیتروژن خاک، آبشویی نیترات و میزان انتشار گازهای دی‌اکسیدکربن ( $CO_2$ )، متان ( $CH_4$ )، آمونیاک ( $NH_3$ )، اکسید نیتریک ( $NO$ )، اکسید نیتروز ( $N_2O$ ) از سیستم‌های گیاهی- خاکی در پایان هر روز شبیه‌سازی، و مرتباً مدل‌سازی می‌شود. DNDC همچنین یک

## مقدمه

توجه به مسائل زیست محیطی در سال‌های اخیر افزایش یافته است. بخش‌های مختلف اقتصادی با افزایش آگاهی‌های زیست محیطی، به ارزیابی اثرات فعالیت‌های خود علاقه‌مند شده‌اند. کشاورزی یکی از بخش‌های مهم اقتصادی است که اثرات مهمی بر محیط دارد (چارلز و همکاران، ۲۰۱۷). افزایش مکانیزاسیون، بهبود روش‌های تولید، کاربرد گسترده کودها و آفت‌کش‌ها و پیشرفت‌ها در دامپروری در طی قرن ییستم به افزایش تولید کمک زیادی نموده‌اند. امروزه، مصرف انرژی در بخش کشاورزی به دلیل افزایش جمعیت، کاهش زمین‌های قابل کشت و بهبود سطح رفاه زندگی میزان افزایش یافته است و برای تأمین غذای جمعیت رو به افزایش به استفاده فشرده از کودهای شیمیابی، آفت‌کش‌ها، ماشین‌آلات کشاورزی، انرژی برق و منابع طبیعی نیاز است (فیتون و همکاران، ۲۰۱۷)، اما این در حالی است که منابع فسیلی محدود می‌باشد و برای حفظ این منابع برای نسل‌های آینده بشر استفاده صحیح و با کارایی بالا از این منابع امری الزامی است. از طرف دیگر افزایش استفاده فشرده از منابع زمین باعث مشکلات زیست محیطی می‌شود. منبع اصلی چندین آلاینده مهم محیط زیست، کشاورزی می‌باشد (فرانکواویلی و همکاران، ۲۰۱۸). طبق پیمان‌نامه کیوتو (۱۹۹۷) توسعه کشاورزی با کارایی مصرف انرژی بالا می‌تواند در کاهش مقدار گازهای گلخانه‌ای ناشی از فعالیت‌های کشاورزی مؤثر باشد. استفاده بهینه از منابع در کشاورزی مشکلات زیست محیطی را کاهش می‌دهد، از تخریب منابع طبیعی جلوگیری می‌کند و باعث گسترش کشاورزی پایدار می‌شود (دنگ و همکاران، ۲۰۱۸).

کشاورزی به عنوان یک منبع شناخته شده و قابل توجه تولید گازهای گلخانه‌ای می‌باشد (باریو و همکاران، ۲۰۱۷). غاظت گاز  $N_2O$  در اتمسفر از سال ۱۷۵۰ میلادی تاکنون ۲۰٪ افزایش یافته است (سیایس و همکاران، ۲۰۱۳). کاربرد کودهای نیتروژنه و عملیات زراعی، منشا انتشار ۷۸ درصد گاز  $N_2O$  در آمریکا است (UNEP, 2013).

پیچیدگی روابط حاکم بر چرخه‌های بیوژئوشیمیابی و اهمیت آن‌ها سبب می‌شود جهت کشف حقیقت، مدل‌های پیش-بینی کننده‌ای جهت بررسی تغییرات اقلیمی و کاربری‌های اراضی بر نرخ تصاعد گازهای گلخانه‌ای و تغییرات خصوصیات خاک‌ها به کار گرفته شود (لی و همکاران، ۲۰۰۹). مطالعه چرخه‌های کربن و نیتروژن و اثرگذاری آن‌ها بر اقلیم جهانی با استفاده از مدل‌ها برای بررسی میزان انتشار گازهای گلخانه‌ای به اتمسفر

$\text{CH}_4$  در فصل رشد برنج در بین تیمارهای مختلف تفاوت آماری معنی دار نشان داد. همچنین اثر متقابل خاکورزی و مدیریت بقایا بر انتشار گازهای گلخانه‌ای معنی دار بود، اما بر عملکرد گندم و برنج اثر معنی دار نداشتند.

این را می‌دانیم که دنیتریفیکاسیون و تولید  $\text{N}_2\text{O}$  بوسیله افزایش در (Water-filled pore space) WFPS زیاد می‌گردد. رسیدن به حداقل انتشار  $\text{N}_2\text{O}$  در مقادیر WFPS بالای ۷۰ درصد و حداقل دنیتریفیکاسیون در حالت اشباع خاک بدست می‌آید (لیانگ و همکاران، ۲۰۱۸). برخی مطالعات نشان می‌دهند که مقدار انتشار  $\text{N}_2\text{O}$  در سیستم‌های خاکورزی مرسوم و بی خاکورزی بوسیله میزان آب خاک کنترل می‌گردد (بوکسز و همکاران، ۲۰۱۱؛ آلمارز و همکاران، ۲۰۰۹)، اما تاثیر مثبت یا منفی بکارگیری خاکورزی بر انتشار  $\text{N}_2\text{O}$  عمده‌تاً به بافت خاک و شرایط جوی بستگی دارد (فانگ و همکاران، ۲۰۱۵).

آلماز و همکاران (۲۰۰۹) در بررسی خود روى گیاه سویا در کاتانا دریافتند که انتشار گاز  $\text{N}_2\text{O}$  در خاکورزی مرسوم نسبت به بی خاکورزی، از حداقل مقدار ۱/۸ میلی‌گرم در متر<sup>۲</sup> مربع در روز برای خاکورزی مرسوم به ۴/۷ میلی‌گرم در مترمربع در روز را برای بی خاکورزی کاهش می‌یابد. آن‌ها همچنین گزارش نمودند که بی خاکورزی با افزایش تثبیت  $\text{N}_2$  در سویا ممکن است باعث کاهش انتشار  $\text{CO}_2$  و  $\text{N}_2\text{O}$  در مقایسه با شخم معمول گردد. با این وجود، مطالعات مزروعه‌ای موجود، اثرات کاربرد خاکورزی یا مدیریت بقایا و یا اثر متقابل این دو شیوه بر انتشار گازهای گلخانه‌ای را به خوبی روشن نمی‌سازد (باير و همکاران، ۲۰۱۴).

با توجه به هزینه‌بر بودن اندازه گیری‌های مستقیم و خطای بالای اندازه گیری‌های نقطه‌ای، تعیین شیوه‌های بهینه مدیریت خاک و اثربخشی آنها در احتباس<sup>۱</sup> کربن اتمسفری و کاهش انتشار گازهای گلخانه‌ای با استفاده از مدل‌های شبیه‌سازی که قابلیت آنها اثبات شده است روشی به صرفه می‌باشد. این مسئله در ارزیابی بیلان کربن و نقش خاکهای بخش کشاورزی در تولید و انتشار گازهای گلخانه‌ای و ایجاد کشاورزی پایدار حائز اهمیت می‌باشد. در این خصوص این تحقیق با هدف بررسی برآورد تاثیر سیستم‌های مختلف خاکورزی بر میزان انتشار گاز گلخانه‌ای  $\text{N}_2\text{O}$  با استفاده از مدل DNDC در مزروعه پنبه در تناوب با گندم، اجرا گردید.

گزارش سالانه از عملکرد سالیانه محصول و مخازن و جریانات کربن، نیتروژن و آب را برای سیستم شبیه‌سازی و ارائه می‌کند (لی، ۲۰۰۰).

فعالیت‌های کشاورزی، مانند شخم خاک و مدیریت بقایای محصول نقش مهمی در عملکرد محصول و یا انتشار گازهای گلخانه‌ای بازی می‌کنند (پاندی و همکاران، ۲۰۱۲، لیو و همکاران، ۲۰۱۴). محققان بسیاری اثر شخم و خاکورزی را روی آزادسازی گازهای گلخانه‌ای بررسی کرده‌اند. از جمله پاندی و همکاران (۲۰۱۳) در آزمایشی در هند اثرات روش‌های مختلف خاکورزی را در تناوب گندم- برنج بررسی کردند و گزارش نمودند که شخم متعارف برای هر دو گیاه، علاوه بر اینکه موجب افزایش عملکرد در گیاه گندم شد، باعث افزایش انتشار گازهای گلخانه‌ای نیز گردید. وی به همراه سایر همکاران در تحقیقی دیگر بیان نمودند که کاهش خاکورزی منجر به کاهش انتشار  $\text{CH}_4$  و  $\text{N}_2\text{O}$  و عملکرد محصول می‌گردد (پاندی و همکاران، ۲۰۱۲).

خاکورزی خاک و مدیریت بقایا می‌تواند پویایی کربن (C) و نیتروژن (N) را تغییر داده و در نتیجه موجب تغییرات قابل توجهی در انتشار گازهای گلخانه‌ای و عملکرد محصول شود (اسمیت و همکاران، ۲۰۱۰؛ لی و همکاران، ۲۰۱۰؛ چانچه آزمایش‌های پنجاه‌ساله در چین نشان داد که افزایش بقایا در مزرعه، باعث کاهش انتشار گازهای گلخانه‌ای در طول فصل رشد شد (سوونگ و همکاران، ۲۰۱۹). با به کارگیری روش‌های مدیریت آبیاری و کوددهی انتظار می‌رود کشاورزی تاثیر کمتری در انتشار  $\text{N}_2\text{O}$  داشته باشد (مایلز و همکاران، ۲۰۱۶). بیشترین مقدار کربن آبی و نیتروژن کل خاک در سیستم بی خاکورزی و پس از آن در سیستم کم خاکورزی و کمترین مقدار مربوط به سیستم خاکورزی متداول می‌باشد. به این جهت که در سیستم بدون خاکورزی به دلیل آشفتگی کمتر خاک، فعالیت‌های آنزیمی خاک افزایش می‌یابد (محمدی و همکاران، ۱۳۹۱).

محققین انتشار  $\text{N}_2\text{O}$  بیشتری را برای خاکورزی مرسوم در مقایسه با کم خاکورزی و یا بی خاکورزی گزارش کرده‌اند. با این حال، روچیت و همکاران (۲۰۰۸) نشان دادند که انتشار اکسید نیتروژن از خاک با فشرده‌سازی عملیات خاکورزی به ویژه در خاک‌های لومی افزایش یافت. رانگ و همکاران (۲۰۱۵) در آزمایشی در چین اثرات متفاوت خاکورزی و مدیریت بقایا بر میزان انتشار گازهای گلخانه‌ای را بررسی کردند، و گزارش نمودند که اگرچه در فصل رشد گندم میزان انتشار  $\text{CH}_4$  و  $\text{N}_2\text{O}$  در تیمارهای مختلف تفاوت معنی داری نداشتند، اما انتشار

<sup>۱</sup> - Sequestration

سطح دریا) در فاصله ۲۳۰ کیلومتری جنوب شرقی شیراز اجرا شد. اقلیم منطقه گرم و خشک با میانگین بارندگی بلند مدت ۲۸۵ میلی‌متر می‌باشد. مشخصات خاک محل آزمایش در جدول ۱ ارایه گردیده است. بافت خاک لومی، و زمین مورد نظر قبل از اجرای آزمایش به مدت سه سال آبیش بوده است.

## مواد و روش‌ها

### معروفی منطقه مطالعه و طرح آزمایش

این تحقیق در ایستگاه تحقیقات کشاورزی حسن آباد داراب، وابسته به مرکز تحقیقات کشاورزی و منابع طبیعی فارس (طول جغرافیایی ۵۷ درجه و ۵۴ دقیقه شرقی و عرض جغرافیایی ۲۹ درجه و ۲۸ دقیقه شمالی با ارتفاع ۱۱۰۷ متر از

جدول ۱- مشخصات فیزیکوشیمیائی خاک محل اجرای آزمایش

بافت خاک	شن (/)	رس (%)	سیلت (/)	پتانسیم قابل جذب p.p.m.	فسفر قابل جذب (mg/kg)	ازت (%)	O.C. (%)	pH	EC (ds/m)	عمق (cm)
لومی	۳۵/۴	۱۷/۱	۴۷/۵	۱۴۹	۵/۹	۲۲	۰/۵۸	۷/۸	۱/۷	۱۵-۰
لومی	۳۴/۸	۱۹/۱	۴۶/۱	۹۷	۴/۷	۲۴	۰/۵۲	۷/۸	۰/۷۶	۳۰-۱۵

تمامی مراحل داشت پنبه مطابق دستورالعمل موسسه پنبه کشور انجام گرفت. آبیاری مزرعه با استفاده از سیفون به نحوی انجام شد که ارتفاع آب پشت سیفون‌ها ثابت و برای تمام سیفون‌ها در یک سطح قرار داشته باشد. مدت زمان آبیاری برای تمام تیمارهای مطالعه یکسان در نظر گرفته شد. میزان کود مصرفی بر اساس آزمون خاک در هر پنج سال تعیین شد. در مزرعه گندم و پنبه میزان مصرف کود مشابه بود، چنانچه تمامی کود سوپرفسفات (معادل  $\text{P}_2\text{O}_5$  ۳۰ کیلوگرم در هکتار) و نیترات پتانسیم (معادل ۴۴ کیلوگرم در هکتار  $\text{K}_2\text{O}$ ) و یک سوم کود اوره (معادل ۶۰ کیلوگرم در هکتار نیتروژن خالص) در زمان کاشت و توسط کارنده به کرت‌ها داده شد. بقیه کود اوره در دو مرحله (بعد از تنک‌کاری و دیگری بعد از گلدنه) به صورت سرک و با دست در مزرعه پخش شد. به‌منظور مبارزه با علف‌های هرز مزرعه پنبه، علفکش ترفلان بصورت پیش‌کشت به میزان ۴ لیتر در هکتار به همراه اولین آبیاری مصرف گردید. بعلاوه وجود دستی نیز در دو مرحله یکی در مرحله ۴ برگی به همراه عمل تنک‌کاری (۴۰ روز پس از کاشت) و دیگری در مرحله قبل از گلدنه انجام گرفت.

در مزرعه پنبه در پایان فصل رشد پس از باز شدن کامل غوزه‌ها، وش هر پلات بطرور جداگانه در گونه‌های جداگانه برداشت و پس از توزین با ترازوی دیجیتالی میزان عملکرد محصول پنبه تعیین گردید. در زمان برداشت، با برش بوته‌ها از سطح خاک و خشک کردن آنها در آون به مدت ۴۸ ساعت در دمای ۷۰ درجه سانتی‌گراد، میزان بیوماس پنبه محاسبه گردید. میزان رطوبت متوسط خاک با استفاده از دماسنجه میله‌ای حداکثر-حداقل TFA (مدل IP 67, Germany) در طول آزمایش اندازه‌گیری شد. آزمایش %WFPS نیز به روش پائول (۲۰۰۷)

آزمایش به منظور تعیین اثرات روش‌های مختلف خاکورزی بر میزان انتشار گازهای گلخانه‌ای در زراعت پنبه در قالب طرح بلوک‌های کامل تصادفی با ۳ تیمار در ۴ تکرار به مدت پنج سال زراعی (۱۳۹۱-۱۳۹۶) انجام گردید. تیمارهای تحقیق عبارت بودند از (۱) کشت مستقیم (بی‌خاکورزی) گندم و پنبه، (۲) کم-خاکورزی گندم و پنبه، و (۳) خاکورزی مرسوم هر دو محصول گندم و پنبه، به عنوان شاهد. ابعاد هر کرت گندم شامل ۱۸۰ مترمربع (۳۰ متر طول و ۶ متر عرض) بود. هر کرت گندم شامل ۴۰ ردیف کاشت بود که با فاصله بین خطوط ۱۵ سانتی‌متر و ۴۰ سانتی‌متر در هفتۀ آخر آبان ماه هر پنج سال کشت گردید. گندم با کمایین مخصوص آزمایشات برداشت و میزان ۳۰ درصد وزنی از بقایای گندم در تیمارهای کشت حفاظتی (بی‌خاکورزی و خاکورزی حداقل) در مزرعه پخش گردید. همچنین در کشت پنبه، هر کرت شامل ۸ ردیف کاشت بود که با فاصله کاشت بین خطوط ۷۰ سانتی‌متر و فاصله روی خطوط ۲۰ سانتی‌متر در هفتۀ آخر اردیبهشت ماه هر پنج سال کاشته شد.

در روش کشت مستقیم (بی‌خاکورزی) قبل از کشت هیچ‌گونه عملیات خاکورزی انجام نشد و کشت با یک بار حرکت مستقیم‌کار (مارک Semeato مدل 11/13 SHM ساخت کشور برزیل) در مزرعه انجام شد. در روش کم‌خاک-ورزی از یک دستگاه خاکورز مرکب (مارک پوتینگر کاشت کشور اتریش) استفاده شد. سپس برای کشت گندم از خطی کار و برای کشت پنبه از ردیفکار استفاده گردید. در روش مرسوم، خاکورزی توسط گاوآهن برگرداندار و دیسک انجام شد و گندم توسط خطی کار و پنبه توسط ردیفکار کشت گردید.

( $m^3/m^3$ ) اندازه‌گیری شد.

$$WFPS = \frac{VWC}{1 - BD/PD} \times 100\%$$

میزان  $N_2O$  از دستگاه (GC) Gas Chromatography (Model 14a Shimatzu, Japan) استفاده شد.

پس از انتقال نمونه‌ها به آزمایشگاه، میزان انتشار آمونیاک با استفاده از دستگاه سنجش میزان آمونیاک Bentech (Model GM8806, China) اندازه‌گیری شد.

برای تخمین انتشار گازهای گلخانه‌ای در این پژوهش از مدل DNDc 9.5 استفاده شد.

#### ارزیابی آماری نتایج شبیه‌سازی مدل

ارزیابی قدرت مدل در پیش‌بینی با استفاده از آماره جذر مجموع مربعات خطای نرمال شده ( $RMSE_n$ ) و نیز ضرب رگرسیونی خطای مقادیر واقعی در برابر مقادیر پیش‌بینی شده آزموده شد.  $RMSE_n$  با استفاده از رابطه ۲ محاسبه گردید (Rinaldi و همکاران، ۲۰۰۳).

$$RMSE_n = 100 \left( \sum_{i=1}^n (P_i - O_i)^2 / n \right)^{0.5} / O_{mean}$$

Eq. 1

محاسبه گردید. برای محاسبه WFPS مقدار رطوبت خاک، به صورت VWC (Volumetric water content) با واحد

(BD) Bulk density در عمق ۵ سانتی‌متر خاک و (PD) Particuly density ۲/۶۵ گرم بر سانتی‌متر مکعب در نظر گرفته شد. همچنین داده‌های هواشناسی روزانه از ایستگاه هواشناسی حسن‌آباد دریافت شد.

#### اندازه‌گیری میزان انتشار $N_2O$ و آمونیاک

برای محاسبه میزان انتشار  $N_2O$  از روش قرار دادن در پوش روی خاک به صورت هفتگی استفاده گردید. در این روش هر در پوش به میزان ۲ سانتی‌متر در خاک وارد و جریان  $N_2O$  خاک پس از گذشت ۳۰ دقیقه در plexiglas chamber نمونه‌گیری می‌شود. سپس نمونه‌ها به آزمایشگاه منتقل و جهت تعیین

Eq. 2

داده‌هایی همانند انتشار گازها یا نمونه اصلی سیستم، تنظیم مدل یا کالیبره کردن آن می‌گویند. به عبارت دیگر هدف از کالیبراسیون حداقل کردن اختلاف بین خروجی پیش‌بینی شده و مشاهده شده است و این کار ممکن است بواسیله اندازه‌گیری دقیق پارامترها و یا بواسیله روش‌های بهینه سازی انجام شود. عموماً رابطه خاصی بین شکل عمومی مدل و سیستم فیزیکی مورد مطالعه از طریق پارامترهای مدل وجود دارد که این رابطه، دقت مقادیر پارامترها را برای خوبی برآورده، بین خروجی مدل و خروجی ثبت شده تعیین می‌کند.

در این مطالعه واسنجی مدل بواسیله آزمون و خطای (روشن دستی) انجام شد. در این روش پارامترهای شامل دما و رطوبت خاک، بیomas و عملکرد پنبه که می‌توانند اندازه‌گیری شوند، وارد شده و تخمینی از پارامترهای ناشناخته به عنوان برآورد اولیه انجام گردید. سپس مدل اجرا شد و خروجی آن با خروجی مشاهده شده در نمونه اصلی مقایسه گردید. داده‌های سه سال ابتدایی تحقیق به منظور واسنجی مدل استفاده شد.

#### نتایج و بحث

در این معادله  $P_i$  و  $O_i$  به ترتیب مقادیر پیش‌بینی شده و واقعی،  $n$  تعداد اندازه‌گیری واقعی اجزای گیاهی و  $O_{mean}$  میانگین مقادیر واقعی می‌باشد.  $RMSE_n$  به صورت درصد اختلاف نسبی مقادیر پیش‌بینی شده در برابر مقادیر واقعی بیان می‌شود. بر اساس تعریف، قدرت پیش‌بینی مدل در صورتی که مقدار RMSE کمتر از ۱۰ درصد باشد، عالی، اگر بین ۱۰ تا ۲۰ درصد باشد، خوب، اگر بین ۲۰ تا ۳۰ درصد باشد، متوسط و اگر بالاتر از ۳۰ درصد باشد، ضعیف برآورد می‌گردد (Rinaldi و همکاران، ۲۰۰۱). برای برآش معادلات و انجام محاسبات آماری، از نرم افزار Excel استفاده شد.

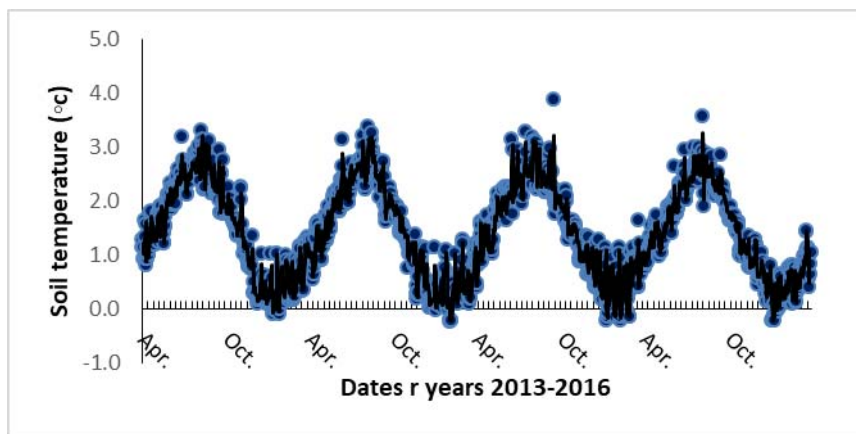
#### واسنجی مدل

برای طراحی مدل باید از فرایندها، معادلات ریاضی و الگوریتم‌هایی که فرایندها را توصیف می‌کنند شناخت نسبتاً کاملی داشته باشیم، زیرا اکثر مدل‌های بیوژئوژنیکی نیاز به تطبیق و تعدیل پارامترهای کنترل کننده فرایندها دارند (بطور مثال تولید  $N_2O$  و  $CO_2$ ، آبشویی، ذخیره رطوبت خاک و....). تطبیق پارامترها جهت هماهنگی و سازگاری مدل در تولید

شده با اندازه‌گیری‌های مزروعه‌ای موافق بود. مقدار همبستگی خطی مقادیر شبیه‌سازی در برابر میانگین دماهای روزانه خاک مشاهده شده ( $R^2$ ) برابر با  $0.97$  و شیب  $1/0 < P < 0.01$  و مقدار RMSE  $10.13\%$  به دست آمد (جدول ۲).

اعتبار سنجی مدل  
دما و رطوبت خاک

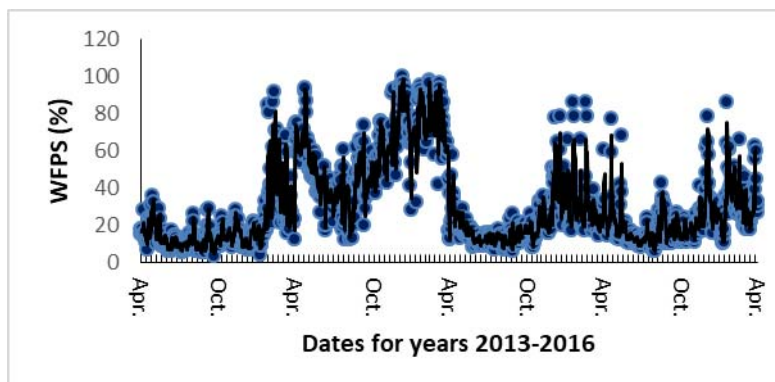
شکل ۱ مقادیر پیش‌بینی و مشاهده شده دمای متوسط روزانه خاک در عمق ۵ سانتی‌متری از فروردین ۱۳۹۲ تا اسفند ۱۳۹۵ را در سه تیمار نشان می‌دهد. الگوی زمانی و مقادیر مدل



شکل ۱- میانگین دمای روزانه خاک (۰ - ۵ سانتی‌متر) مشاهده شده و شبیه‌سازی شده از ۱۳۹۲ تا ۱۳۹۵

مدل عموماً تغییرات زمانی و مقدار اندازه‌گیری شده رطوبت خاک در عمق صفر تا ۵ سانتی‌متری را در اکثر موارد در بر داشته است، هر چند تفاوت‌هایی در برخی از مقادیر وجود داشت. همبستگی خطی مقادیر شبیه‌سازی شده در مقابل میانگین رطوبت متوسط مشاهده شده روزانه ( $R^2$ ) برابر با  $0.92$  و شیب  $10.4 < P < 0.01$  بود. RMSE نیز  $34.57\%$  محاسبه شد (جدول ۲).

میزان WFPS % علاوه بر میزان تهویه، قابلیت دسترسی به آب را نیز نشان می‌دهد (پاول، ۲۰۰۷). بهترین شرایط خاک برای انجام بیشترین انتشار و جریانات  $N_2O$  در محدوده دمایی  $20-40$  درجه سانتی‌گراد و WFPS برابر با  $80-60$  درصد رطوبت خاک اتفاق افتاد و در شرایط گرم-خشک و سرد-مرطوب (خارج از محدوده بهینه) بسیار آهسته بود (لیانگ و همکاران، ۲۰۱۸). همان‌طور که شکل ۲ نشان می‌دهد، پیش‌بینی



شکل ۲- میانگین درصد رطوبت روزانه در خلل و فرج خاک (۰ - ۵ سانتی‌متر) مشاهده شده و شبیه‌سازی شده از ۱۳۹۲ تا ۱۳۹۵

جدول ۲ - مقادیر متغیرهای شبیه سازی شده DNDC در مقایسه با مقادیر مشاهدات.

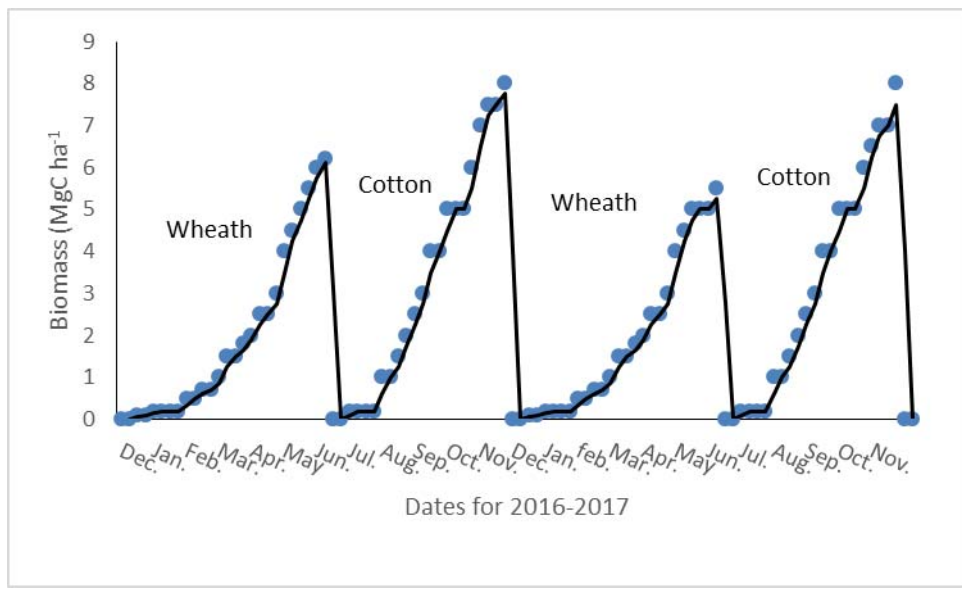
n	RMSE (%)	رگرسیون خطی			متغیر
		p	R <sup>2</sup>	شیب	
۸۴	۲۶/۸۱	≤۰/۰۱	۰/۹۲	۱/۰۶	·
۳۶	۱۰/۵۱	≤۰/۰۱	۰/۷۰	۰/۷۸	·
۱۴	۷۴/۷۳	≤۰/۰۱	۰/۷۷	۱/۲۲	·
۱۲	۱۸/۴۵	≤۰/۰۱	۰/۹۵	۱/۲۴	·

(p) را نشان می دهد که نشان دهنده یک تطابق خوب است. از نتیجه شبیه سازی، RMSE برابر با ۲۶/۸۱٪ به دست آمد (جدول ۲).

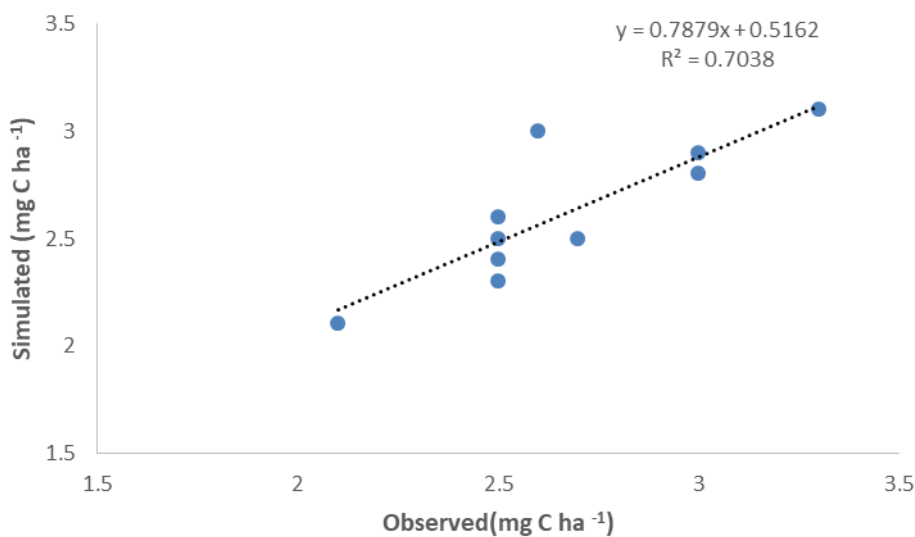
شکل ۴ عملکردهای شبیه سازی شده و مشاهده شده پنبه را در سه تیمار بین سال های ۱۳۹۶ تا ۱۳۹۲ مقایسه می کند. همان‌طور که رگرسیون خطی نشان می دهد بین شبیه سازی ها و مشاهدات در عملکرد با R<sup>2</sup> برابر با ۰/۷۰ و شیب ۰/۷۸ (P < 0.01) تطابق خوبی وجود دارد. مقادیر RMSE نیز ۱۰/۵۱٪ بود (جدول ۲).

#### تغییرات بیوماس بالا زمینی و عملکرد

تغییرات زیست توده هوایی شبیه سازی شده برای گندم و پنبه به طور کلی نزدیک به مشاهدات مزرعه ای بود (شکل ۳). همان طور که مشاهدات نشان داد، زیست توده هوایی گندم در زمستان بسیار کم بود و بعد از آمدن بهار به طور چشم گیری افزایش پیدا کرد، در حالی که در پنبه با شیب متناسبی در طول رشد گیاه افزایش یافت. این مدل با موفقیت این پویایی را شبیه سازی کرد. رگرسیون خطی مقادیر شبیه سازی بیوماس هوایی پنبه در مقابل مشاهدات، R<sup>2</sup> برابر با ۰/۹۲ و شیب ۱/۰۶



شکل ۳- میانگین بیوماس مشاهده شده و شبیه سازی شده در تناوب گندم-پنبه از آذر ۱۳۹۴ تا آذر ۱۳۹۶

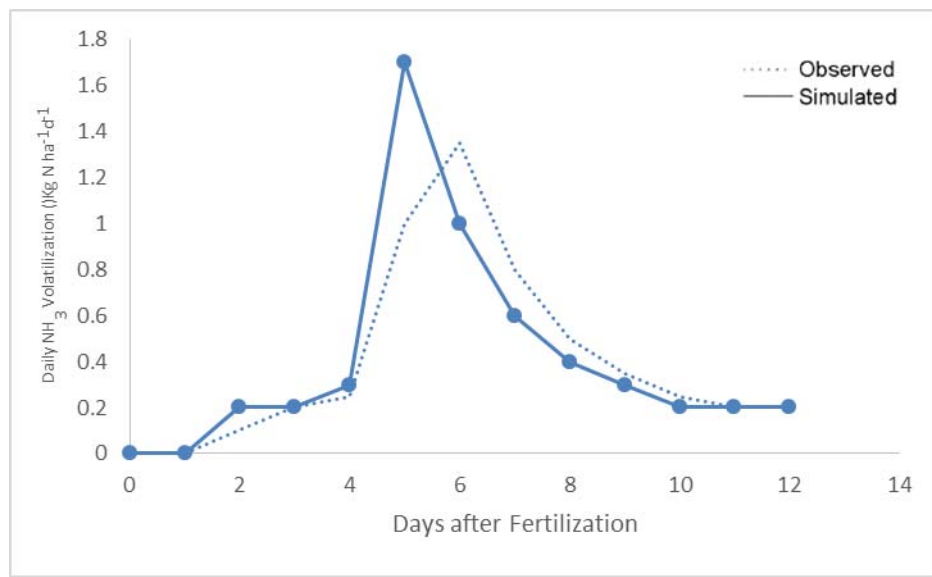


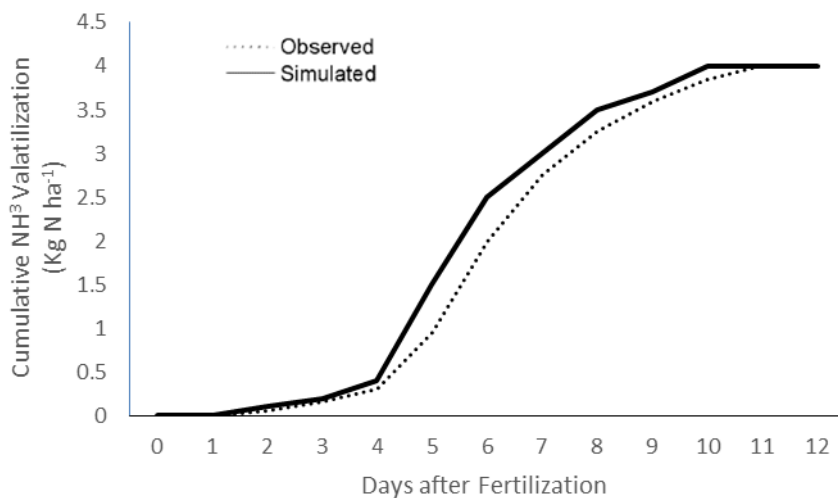
شکل ۴- همبستگی مقادیر مشاهده شده و شبیه سازی شده میانگین عملکرد پنبه طی پنج سال مطالعه

جريانات را ناچیز نشان داد. علی‌رغم این تفاوت‌ها، شبیه‌سازی مدل، یک انتشار تجمعی از  $NH_3$  برابر با  $3/76$  کیلوگرم نیتروژن در هکتار را در نتیجه عملیات کوددهی بدست آورد، که تقریباً  $4\%$  بالاتر از مقدار مشاهده شده  $3/60$  کیلوگرم نیتروژن در هکتار بود. رگرسیون خطی مقادیر شبیه‌سازی در برابر مشاهده شده انتشار روزانه  $NH_3$  برابر با  $0/77$  و  $R^2 = 0.22$  ( $P < 0.01$ ) بدست آمد. مقدار RMSE نیز برابر با  $74/73\%$  به دست آمد (جدول ۲).

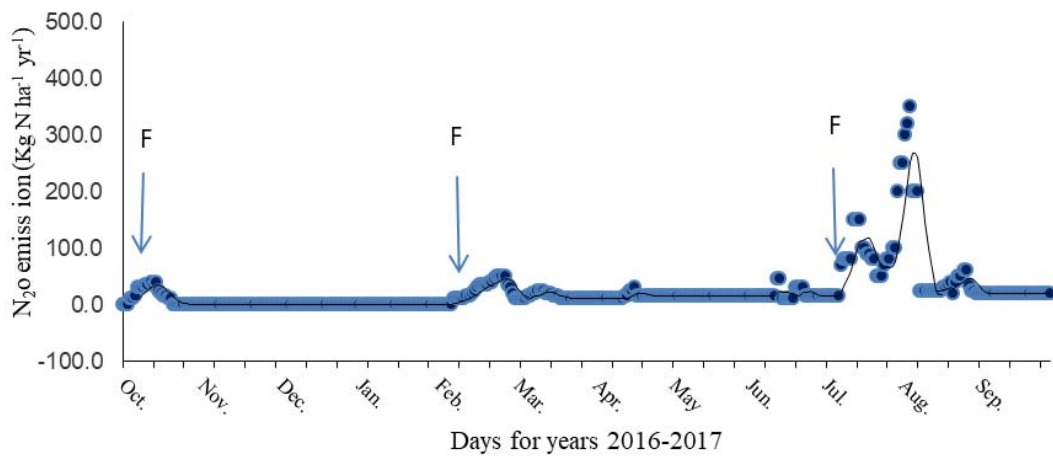
#### انتشار آمونیاک ( $NH_3$ ) از خاک

در شکل‌های ۵ و ۶ به ترتیب انتشار روزانه و تجمعی آمونیاک ( $NH_3$ ) از خاک در مقابل روزهای پس از مصرف کود نیتروژن در تیمار خاکورزی مرسوم مشخص و شبیه‌سازی شده است. همان‌طور که شکل‌ها نشان می‌دهد، الگوی تغییرات جريانات شبیه‌سازی شده منطبق بر مقادیر مشاهده شده بود، هرچند شبیه‌سازی مدل، پیک جريان در روز پنجم بعد از کوددهی را بیش از پیش افزایش داده و در سه روز ابتدائی

شکل ۵- تصعید روزانه مشاهده شده و شبیه سازی شده  $NH_3$



شکل ۶- تضعید تجمعی مشاهده شده و شبیه سازی شده  $\text{NH}_3$

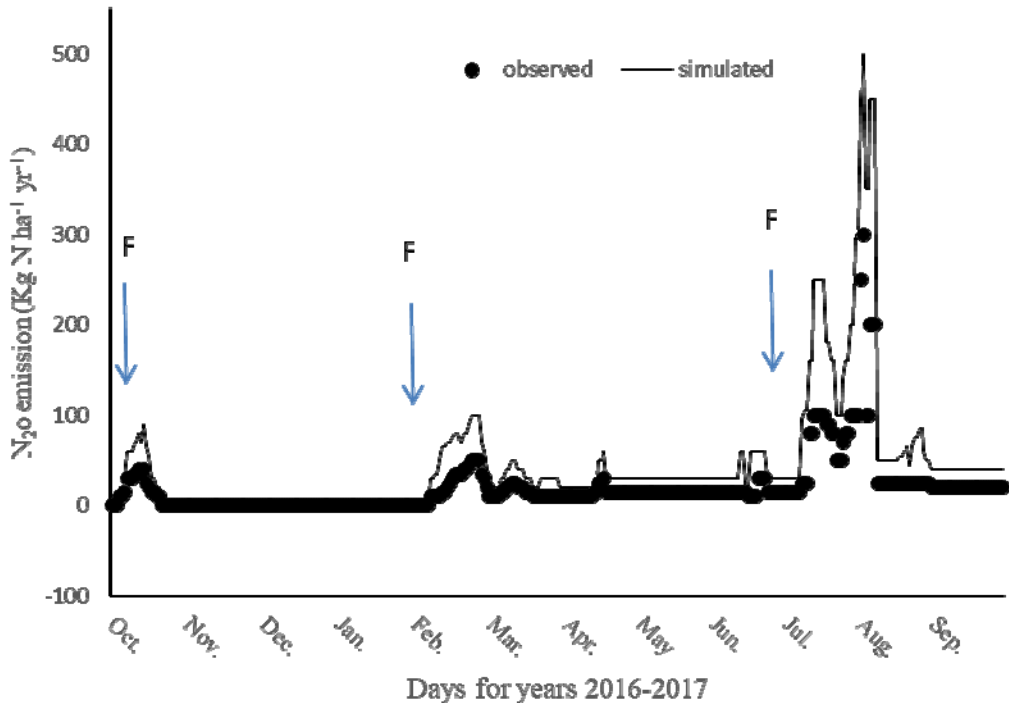


شکل ۷- جریانات مشاهده شده و شبیه سازی شده روزانه  $\text{N}_2\text{O}$  تیمار خاکورزی مرسوم (F زمان کوددهی است).

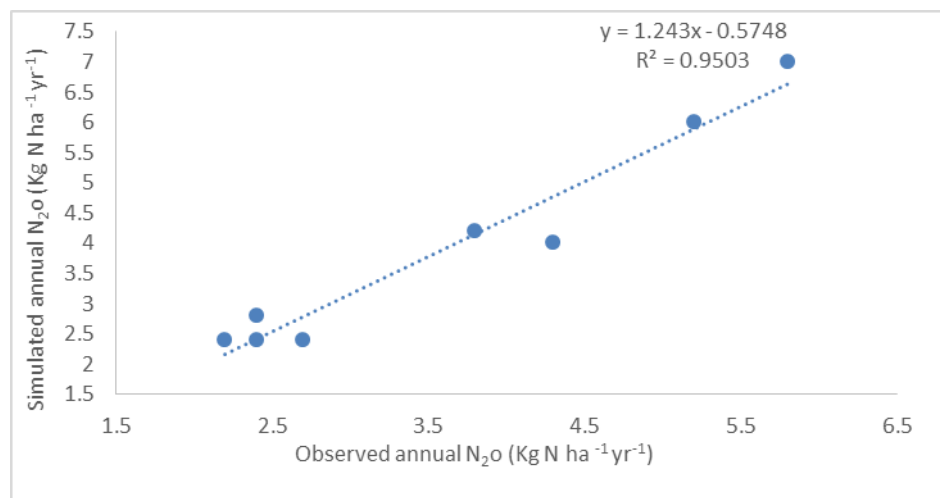
DNDC به طور کلی الگوی زمانی جریانات روزانه  $\text{N}_2\text{O}$  نشان داد، گرچه اختلافهایی در مقدار برخی از انتشارهای میزان  $\text{N}_2\text{O}$  وجود داشت. در ۳ تیمار خاکورزی اعمال شده، میزان انتشار سالانه  $\text{N}_2\text{O}$  مشاهده شده از ۲۰۹ تا ۵/۵۷ کیلوگرم نیتروژن در هکتار، با میانگین ۳/۷۰ کیلوگرم در نوسان بود (شکل ۹). در تطابق با مشاهدات، شبیه سازی های مدل برای انتشار سالانه  $\text{N}_2\text{O}$  در تیمارهای خاکورزی مختلف از ۲/۶۷ تا ۷/۹۵ کیلوگرم نیتروژن در هکتار با مقدار میانگین ۴/۰۲ کیلوگرم تغییر کرد. مقایسه بین انتشارات محاسبه شده و مشاهده شده  $\text{N}_2\text{O}$  در تیمارهای

انتشار اکسید نیتروز ( $\text{N}_2\text{O}$ ) از خاک شکل های ۷ و ۸ مقادیر شبیه سازی شده و مشاهده شده انتشارات روزانه اکسید نیتروز ( $\text{N}_2\text{O}$ ) را از مهر ۱۳۹۴ تا مهر ۱۳۹۵ برای تیمارهای خاکورزی مرسوم و بی خاکورزی نشان می دهد. جریانات روزانه  $\text{N}_2\text{O}$  مشاهده شده در هر سال بسیار متغیر بودند. بالاترین مقادیر معمولاً پس از کوددهی، آبیاری (به ویژه پس از مصرف کود) و بارندگی سنگین نمایان شد. انتشار  $\text{CO}_2$  از خاک بستگی به دمای خاک دارد، در حالی که انتشار  $\text{N}_2\text{O}$  عمدها با بارندگی، وابستگی شدید نشان می دهد (آلماز و همکاران، ۲۰۰۹). در مقایسه با جریانهای مشاهده شده، مدل

سازی انتشار  $N_2O$  برابر با  $45/19\%$  به دست آمد (جدول ۲). مختلف،  $R^2$  برابر با  $0/95$  با شیب معنی دار ( $P < 0.01$ ) معادل  $1/24$  برای رگرسیون خطی داشت. مقدار RMSE برای شیبه-



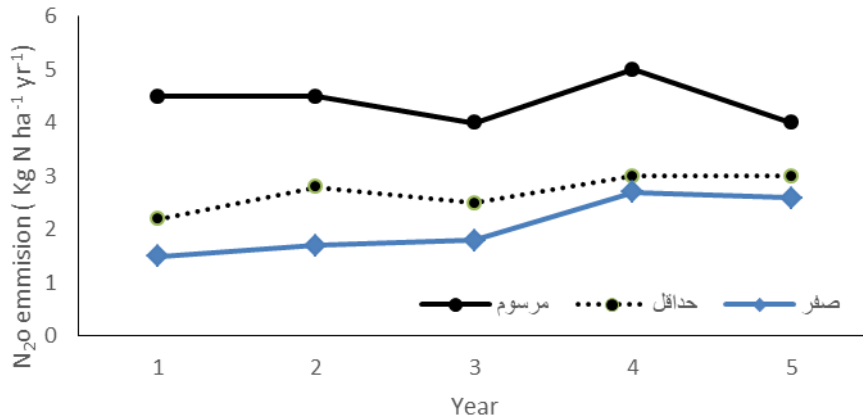
شکل ۸- جریانات مشاهده شده و شبیه سازی شده روزانه  $N_2O$  تیمار بی خاکورزی (F) زمان کوددهی است.



شکل ۹- انتشار تجمعی سالانه مشاهده شده و شبیه سازی شده  $N_2O$

همانطور که نتایج فوق نشان می‌دهد، انتشارات سالانه شبیه‌سازی شده و مشاهده شده  $N_2O$ ، به رغم طیف وسیعی از شیوه‌های مدیریتی، انطباق و ثبات نشان دادند. این نشان می‌دهد که شبیه‌سازی مدل توانسته است شیوه‌های مختلف مدیریت بر انتشار این گاز را به خوبی برآورد کند.

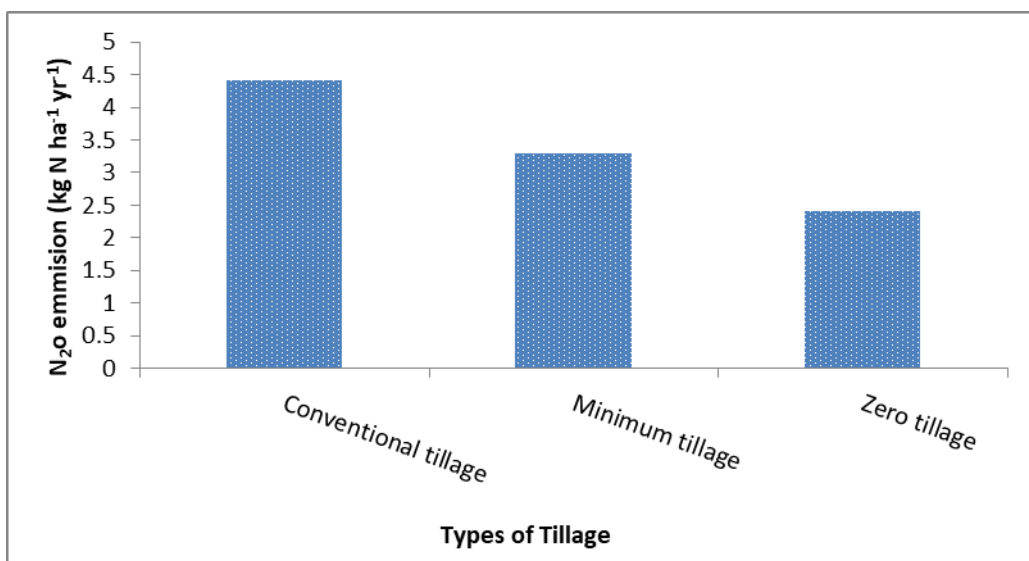
میزان انتشار  $\text{N}_2\text{O}$  در تیمار خاکورزی مرسوم با میانگین سالانه ۴/۴ در برابر ۲/۸ و ۲/۱۴ کیلوگرم نیتروژن در هکتار در سال بهترین برای کم خاکورزی و بی خاکورزی در تمامی سال‌های بررسی بیشتر بود (شکل ۱۰). انتشار سالانه این گاز برای هر سه تیمار، تغییرات زیادی با ضریب تغییرات ۲۵-۲۸٪ برای  $\text{N}_2\text{O}$  بین سال‌های مختلف نشان داد.



شکل ۱۰- میزان انتشار  $\text{N}_2\text{O}$  شبیه سازی شده در تیمارهای مختلف خاکورزی در پنج سال بررسی

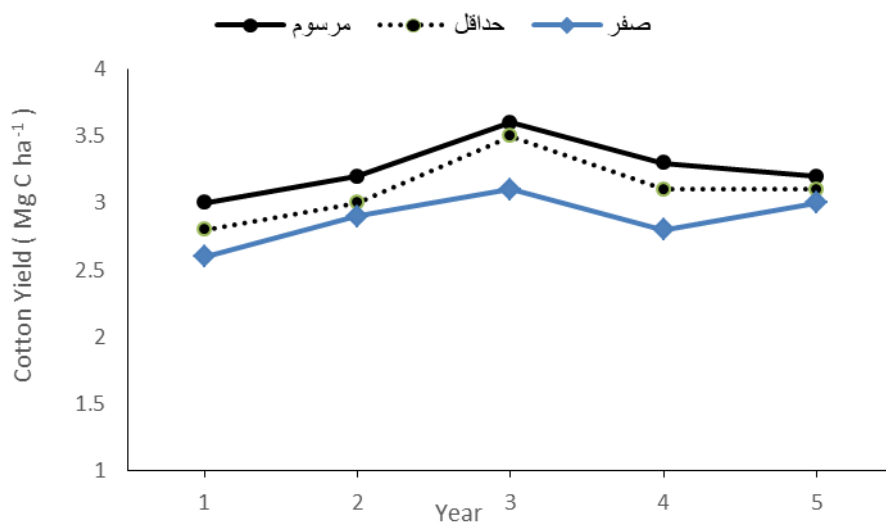
نتایج بسیاری از پژوهش‌های سایر محققین در مورد کاربرد کشاورزی حفاظتی بر انتشار گازهای گلخانه‌ای از خاک در دسترس است، اما این گزارشات بسیار متناقض می‌باشند. در مطالعه‌ای، بکارگیری کشاورزی مرسوم در مزرعه ذرت بر انتشار  $\text{CO}_2$  و  $\text{N}_2\text{O}$  در مقایسه با کاربرد کشاورزی حفاظتی تفاوتی نداشت (جانسون و باربور، ۲۰۱۰)، در مطالعاتی دیگر، کشاورزی مرسوم باعث کاهش میزان انتشار  $\text{N}_2\text{O}$  از خاک شد (دندوون و همکاران، ۲۰۱۲؛ سینگ و همکاران، ۲۰۰۸)، و یا کاربرد کشاورزی حفاظتی در مزرعه، انتشار  $\text{N}_2\text{O}$  را از طریق ورودی‌های جدید نیتروژن در زیست توده گیاهی تحریک کرد (بگس و همکاران، ۲۰۰۳؛ هریسون و همکاران، ۲۰۰۲).

خاکورزی مرسوم بیشترین میزان انتشار  $\text{N}_2\text{O}$  از خاک را در مزرعه پنه (۴/۴ کیلوگرم نیتروژن در هکتار در سال و خاکورزی صفر کمترین میزان (۲/۱ کیلوگرم در هکتار در سال) را به خود اختصاص دادند (شکل ۱۱). به نظر می‌رسد که پس از بارندگی و آبیاری، بقایایی که در هنگام شخم در خاکورزی مرسوم با خاک مخلوط شده‌اند، سریع‌تر تجزیه شده و نیتروژن آزاد شده برای انجام دنیتریفیکاسیون و تولید  $\text{N}_2\text{O}$  بیشتر از روش خاکورزی حفاظتی در دسترس می‌باشد. انتشار  $\text{N}_2\text{O}$  از خاک تحت خاکورزی حفاظتی نیز می‌تواند کاهش (دندوون و همکاران، ۲۰۱۲)، یا افزایش یابد (بگس و همکاران، ۲۰۰۳؛ یوسیری و همکاران، ۲۰۰۹)، و یا اینکه بدون تغییر باقی بماند (المی و همکاران، ۲۰۰۳؛ جانتالیا و همکاران، ۲۰۰۸؛ اومنوده و همکاران، ۲۰۰۷؛ اسمیت و همکاران، ۲۰۱۱).

شکل ۱۱- میزان انتشار سالیانه  $N_2O$  در روش‌های مختلف خاکورزی مزرعه پنبه

نتایج برخی محققین نیز منطبق بر نتایج پژوهش حاضر بود؛ چنانچه اسپی و همکاران (۲۰۱۱) و آلمارز و همکاران (۲۰۰۹) در مطالعات خویش نیز تفاوت معنی‌داری را بین خاکورزی مرسوم و کاهش خاکورزی یافته‌ند، چنانچه کاهش شخم باعث کاهش انتشار  $N_2O$  در تمامی سناریوهای مورد بررسی آنها شد. همچنین گرند و همکاران (۲۰۰۴) نیز گزارش نمودند که نتیجه تغییر مدیریت مزرعه از خاکورزی مرسوم به شخم صفر، کاهشی در حدود ۱۷٪ در میانگین وزنی انتشار  $N_2O$  برای کل دوره سی ساله مطالعه آنها در کشور کانادا بود.

نتایج حاصل از شبیه‌سازی عملکرد متوالی ۵ ساله برای تیمارهای مورد بررسی در شکل ۱۲ نمایش داده شده، و بیان می‌کند که روش‌های خاکورزی برای کشت پنبه از نظر عملکرد به ترتیب شامل خاکورزی مرسوم، خاکورزی حداقل و بی‌خاکورزی بدون اختلاف معنی‌دار می‌باشند (به ترتیب با میانگین‌های ۳/۲۶، ۳/۱۰ و ۲/۸۸ Mg کربن در هکتار).



شکل ۱۲- مقایسه عملکرد پنبه در تیمارهای مختلف خاکورزی در پنج سال بررسی

#### نتیجه گیری

مدل DNDC بر اساس اعتبار سنجی با متغیرهای محدود مشاهدات برای سیستم‌های کشاورزی بسیاری از کشورها مورد آزمایش و کاربرد قرار گرفته است (گیلتراپ و همکاران، ۲۰۱۰). در این مطالعه از طریق شبیه‌سازی مدل، با استفاده از اندازه‌گیری‌های دما و رطوبت

خاک، رشد و عملکرد محصول و انتشارات  $\text{NH}_3$  و  $\text{N}_2\text{O}$  تحت تیمارهای مختلف خاکورزی مزرعه در تناوب کشت گندم-پنبه مدل DNDC اعتبارسنجی شد. علی‌رغم اختلافاتی در شبیه‌سازی‌های روزانه نتایج اعتبارسنجی نشان داد که مدل در شبیه‌سازی محیط خاک و انتشار گازها به خوبی عمل می‌کند.

در منطقه داراب فارس، معمولاً پخش سطحی کود پایه و عملیات خاکورزی در یک زمان و بلافصله بعد از خاکورزی انجام می‌شود. مدل DNDC بصورت روزانه اجرا می‌شود و قبل از کوددهی، خاکورزی اتفاق می‌افتد، بدین معنی که اگر کوددهی و خاکورزی طوری تنظیم شود که در یک روز اتفاق بیفتد، کود به خاک وارد می‌شود. این امر تا حد زیادی باعث کاهش انتشار  $\text{NH}_3$  و در نتیجه فرایندهای دیگر چرخه نیتروژن خواهد شد (کی و همکاران، ۲۰۰۳). بهمنظور حل این مشکل، می‌توان به سادگی روز خاکورزی را یک روز بعد از کوددهی (انجام شده در این مطالعه) تعیین نمود.

بیشترین انتشار  $\text{N}_2\text{O}$  در بهار با ادامه بارندگی‌ها و کوددهی اولیه به پنبه صورت گرفت. انتشار در سال دوم نسبت به سال اول زیادتر بود و برای خاکورزی مرسوم بیشتر از خاکورزی حفاظتی بود که به‌نظر می‌رسد به دلیل معدنی شدن سریعتر بقایا در خاکورزی مرسوم نسبت به خاکورزی حفاظتی که بقایا در سطح خاک حفظ می‌شوند، باشد.

دمای خاک در سیستم بی‌خاکورزی از سایر تیمارهای خاکورزی‌ها کمتر بود (به‌طور میانگین ۱ درجه سانتی‌گراد). همچنین در تعامی اندازه‌گیری‌ها، سیستم بی‌خاکورزی رطوبت بیشتری نسبت به خاکورزی مرسوم و حداقل داشت (به‌طور میانگین ۳-۴ درصد).

در کل، نتایج آزمایش نشان داد که سیستم‌های خاکورزی اثر معنی‌داری بر انتشار  $\text{N}_2\text{O}$  از مزرعه پنبه داشتند، به‌طریکه این خصوصیت در روش خاکورزی صفر با کاهش روبرو شد. نتایج ما با گزارشات سایر محققین نیز هم‌خوانی دارد (لی و همکاران، ۲۰۱۰؛ چن و همکاران، ۲۰۱۶). به‌نظر می‌رسد که حفظ بقایای گندم در تیمارهای کشت حفاظتی (بی‌خاکورزی و کشت حداقل) در مزرعه پنبه می‌تواند بر انتشار  $\text{N}_2\text{O}$  از خاک تاثیر بگذارد، چنانچه نگهداری بقایای گندم در کشت حفاظتی در مزرعه پنبه سبب کاهش انتشار گاز ذکر شده گردید.

می‌توان نتیجه گرفت که شخم حفاظتی علاوه بر کاهش میزان انتشار گاز آلاینده  $\text{N}_2\text{O}$  و  $\text{NH}_3$  در کشت پنبه در تناوب گندم-پنبه در داراب از نظر اقتصادی با توجه به صرفه‌جویی در سوتخت، زمان، هزینه تولید، استهلاک ماشین‌آلات، فرسایش خاک، نیروی انسانی و ..... قابل توجیه است. در مجموع، مطالعه حاضر کاهش خاکورزی را امری لازم در جهت بهبود صفات مورد مطالعه می‌داند، چنانچه تیمار بی-خاکورزی در مزرعه پنبه، با توجه به مطلوب‌تر بودن آن نسبت به سایر تیمارهای تهیه بستر کشت پنبه در کشت دوگانه گندم-پنبه در شرایط مشابه با مطالعه حاضر، می‌تواند قابل توصیه باشد.

## منابع

- محمدی، خ.، غ. ر. حیدری، م. جواهری و م. آقاعیخانی. ۱۳۹۱. تاثیر سیستم‌های مختلف خاکورزی و کوددهی بر توده زنده میکروبی و فعالیت آنزیمی خاک در زراعت آفتباگردان. مجله آب و خاک (علوم و صنایع غذایی). جلد ۲۶، شماره ۱: ۱۱۳-۱۰۴.
- Almaraz, J. J., F. Mabood, X. M. Zhou, C. Madramootoo, P. Rochette, B. L. Ma, and D. L. Smith. 2009. Carbon dioxide and nitrous oxide fluxes in corn grown under two tillage systems in southwestern Quebec. Soil Sci. Soc. Am. J. 73: 113-119.
- Baggs, E. M., M. Stevenson, M. Pihlatie, A. Regar, H. Cook and G. Cadisch. 2003. Nitrous oxide emissions following application of residues and fertilizer under zero and conventional tillage. Biol. Fert. Soils. 254: 361-370.
- Bayer, C., F. D. Costa, G. M. Pedroso, T. Zschornack, E. S. Camargo, M. A. de Lima, R. T. S. Frigheto, J. Gomes, E. Marcolin and V. R. M. Macedo. 2014. Yield-scaled greenhouse gas emissions from flood irrigated rice under long-term conventional tillage and no-till systems in a humid subtropical climate. Field Crops Res. 162: 60-69.
- Boeckx, P., Van K. Nieuland, and Van O. Cleemput. 2011. Short-term effect of tillage intensity on N<sub>2</sub>O and CO<sub>2</sub> emissions. Agron. Sustain. Dev. 31: 453-461.
- Bureau, J., A. Grossel, B. Loubet, P. Laville, R. Massad, E. Haas, K. Butterbach-Bahl, C. Guimbaud and C. Hénault. 2017. Evaluation of new flux attribution methods for mapping N<sub>2</sub>O emissions at the landscape scale. Agri. Ecosys. and Environ. 247: 9-22.
- Cai, Z., T. Sawamoto, C. Li, G. Kang, J. Boonjawat, A. Mosier, R. Wassmann and H. Tsuruta. 2003. Field validation of the DNDC model for greenhouse gas emissions in East Asian cropping systems. Global Biogeochemical Cycles. 17: 1107-1117.

- Charles, A., P. Rochette, J. Whalen, D. A. Angers, M. H. Chantigny and N. Bertrand. 2017. Global nitrous oxide emission factors from agricultural soils after addition of organic amendments: A meta-analysis. *Agri. Ecosys. and Environ.* 236: 88-98.
- Chatskikh, D., J. R. E. Olesen, E. M. Hansen, L. Elsgaard, and B. R. M. Petersen. 2008. Effects of reduced tillage on net greenhouse gas fluxes from loamy sand soil under winter crops in Denmark. *Agri. Ecosys. and Environ.* 128: 117-126.
- Chen, H., C. Yu, C. Li, Q. Xin, X. Huang, J. Zhang, Y. Yue, G. Huang, X. Li and W. Wang. 2016. Modeling the impacts of water and fertilizer management on the ecosystem service of rice rotated cropping systems in China. *Agri. Ecosys. and Environ.* 219: 49-57.
- Ciais, P., C. Sabine, G. Bala, L. Bopp, V. Brovkin, J. Canadell, A. Chhabra, R. DeFries, J. Galloway, M. Heimann, C. Jones, Le Quéré, C. R. B. Myneni, S. Piao and P. Thornton. 2013. Carbon and other biogeochemical cycles. In: Stocker, T. F., D. Qin, G. K. Plattner, M. Tignor, S. K. Allen, J. Boschung, A. Nauels, Y. Xia, V. Bex and P. M. Midgley. (Eds.), *Climate Change 2013: The Physical Science Basis. Contribution of Working Group I to the Fifth Assessment Report of the Intergovernmental Panel on Climate Change*. Cambridge University Press, Cambridge, United Kingdom and New York, NY, USA. pp. 465–570.
- Dendooven, L., L. Patino-Zuniga, N. Verhulst, M. Luna-Guido, R. Marsch, and B. Govaerts. 2012. Global warming potential of agricultural systems with contrasting tillage and residue management in the central highlands of Mexico. *Agri. Ecosys. and Environ.* 152: 50–58.
- Deng, X., X. Chen, W. Ma, Z. Ren, M. Zhang, M. L. Grieneisen, W. Long, Z. Ni, Y. Zhan and X. Lv. 2018. Baseline map of organic carbon stock in farmland topsoil in East China. *Agri. Ecosys. and Environ.* 254: 213-223.
- Elmi, A. A., C. Madramootoo, C. Hamel, and A. Liu. 2003. Denitrification and nitrous oxide to nitrous oxide plus dinitrogen ratios in the soil profile under three tillage systems. *Biol. Fertil. Soils.* 38: 340–348.
- Fang, Q. X., L. Ma, A. D. Halvorson, R. W. Malone, L. R. Ahuja and S. J. Del Grosso. 2015. Evaluating four nitrous oxide emission algorithms in response to N rate on an irrigated corn field. *Environ. Model. Software.* 72: 56–70.
- Fittona, N., A. Dattab, J. M. Cloyc, R. M. Reesc, C. F. E. Toppc, M. J. Bellc, L. M. Cardenasd, J. Williamse, K. Smithe, R. Thormane, C. J. Watsong, K. L. McGeoughg, M. Kuhnerta, A. Hastingsa, S. Anthonye, D. Chadwickf and P. Smitha. 2017. Modelling spatial and inter-annual variations of nitrous oxide emissions from UK cropland and grasslands using DailyDayCent. *Agri. Ecosys. and Environ.* 250: 1-11.
- Franquevillea, D., C. Benhamoua, C. Pasquierb, C. Hénaultb and J. L. Droueta. 2018. Modelling reactive nitrogen fluxes and mitigation scenarios on a landscape in Central France. *Agri. Ecosys. and Environ.* 246: 92-110.
- Giltrap, D. L., C. Li and S. Saggar. 2010. DNDC: A process-based model of greenhouse gas fluxes from agricultural soils. *Agri. Ecosys. and Environ.* 136: 292-300.
- Grant, B., W. N. Smith, R. Desjardins, R. Lemke and C. Li. 2004. Estimated N<sub>2</sub>O and CO<sub>2</sub> emissions as influenced by agricultural practices in Canada. *Clim. Change.* 65: 315-332.
- Harrison, R., S. Ellis, R. Cross and J. H. Hodgson. 2002. Emissions of nitrous oxide and nitric oxide associated with the decomposition of arable crop residues on a sandy loam soil in Eastern England. *Agronomie (France).* 22: 731–738
- Jantalia, C. P., H. P. Dos Santos, S. Urquiaga, R. M. Boddey and B. J. R. Alves. 2008. Fluxes of nitrous oxide from soil under different crop rotations and tillage systems in the South of Brazil. *Nutr. Cycl. in Agroecosys.* 82: 161–173.
- Johnson, J. M. F. and N. W. Barbour. 2010. Crop yield and greenhouse gas responses to stover harvest on glacial till Mollisol. 19th World Congress of Soil Science: Soil solutions for a changing world. 1-6 August 2010, Brisbane, Australia. Pp 36-39.
- Li, C. 1995. Impact of agricultural practices on soil C storage and N<sub>2</sub>O emissions in 6 states in the US. In: *Advances in Soil Science* (eds. R. Lai *et al.*), *Soil Management and Greenhouse Effect*. USA, CRC Press. Pp.101-112.
- Li, C. 2000. Modeling trace gas emissions from agricultural ecosystems. *Nutr. Cycl. in Agroecosys.* 58: 259-276.
- Li, C. 2009. User's Guide for the DNDC Model (Version 9.3). Report of the Institute for the Study of Earth, Oceans and Space. (Durham, NH, USA).

- Li, C., S. Frolking and R. Harriss. 1994. Modeling carbon biogeochemistry in agricultural soils. *Global Biogeochemical Cycles*. 8: 237-254.
- Li, H., J. Qiu, L. Wang, H. Tang, C. Li and E. Van Ranst. 2010. Modelling impacts of alternative farming management practices on greenhousegas emissions from a winter wheat-maize rotation system in China. *Agri. Ecosys. and Environ.* 135: 24-33.
- Liang, L. L., D. I. Campbell, A. M. Wall and L. A. Schipper. 2018. Nitrous oxide fluxes determined by continuous eddy covariance measurements from intensively grazed pastures: Temporal patterns and environmental controls. *Agri. Ecosys. and Environ.* 268: 171-180.
- Liu, C., M. Lu, J. Cui, B. Li and C. Fang. 2014. Effects of straw carbon input on carbon dynamics in agricultural soils: a meta-analysis. *Global Change Biol.* 20: 1366–1381.
- Mielenz, H., P. J. Thorburn, C. Scheer, M. D. A. Migliorati, P. R. Grace and M. J. Bell. 2016. Opportunities for mitigating nitrous oxide emissions in subtropical cereal and fiber cropping systems: A simulation study. *Agri. Ecosys. and Environ.* 218: 11-27.
- Omonode, R. A., T. J. Vyn, D. R. Smith, P. Hegymegi and A. Gal. 2007. Soil carbon dioxide and methane fluxes from long term tillage systems in continuous corn and corn-soybean rotations. *Soil Till. Res.* 95: 182–195.
- Pandey, D., M. Agrawal and J. S. Bohra. 2012. Greenhouse gas emissions from rice crop with different tillage permutations in rice-wheat system. *Agri. Ecosys. and Environ.* 159: 133–144.
- Pandey, D., M. Agrawal and J. S. Bohra. 2013. Impact of four tillage permutations in rice-wheat system on GHG performance of wheat cultivation through carbon footprinting. *Ecological Engineering*. 60: 261–270.
- Paul, E. A. 2007. *Soil microbiology, ecology and biochemistry*: (3rd ed.). Academic Press, London, UK.
- Rinaldi, M., N. Losavio and Z. Flagella. 2003. Evaluation and application of the OILCROP-SUN model for sunflower in southern Italy. *Agric. Sys.* 78: 17-30.
- Rochette, P., M. Angers, H. Chantigny and N. Bertrand. 2008. N<sub>2</sub>O emissions respond differently to no-till in a loam and a heavy clay soil. *Soil Sci. Soc. Am. J.* 72: 1363-1369.
- Singh, B., Y. H. Shan, S. E. Johnson-Beebout, Y. Singh and R. J. Buresh, 2008. Crop residue management for lowland rice based cropping systems in Asia. *Adv. Agron.* 98: 117–199.
- Smith, D. R., G. Hernandez-Ramirez, S. D. Armstrong, D. L. Bucholtz and D. E. Stott. 2011. Fertilizer and tillage management impacts on noncarbon dioxide greenhouse gas emissions. *Soil Sci. Soc. Am. J.* 75: 1070–1082.
- Smith, P., D. Martino, Z. Cai, D. Gwary, H. Janzen, P. Kumar, B. Mccarl, S. Ogle, F. O'Mar, C. Rice, B. Scholes, O. Sirotenko, M. Howden, T. McAllister, G. Pan, V. Romanenkov, U. Schneider and S. Towprayoon. 2007. Policy and technological constraints to implementation of greenhouse gas mitigation options in agriculture. *Agri. Ecosys. and Environ.* 118: 6-28.
- Song, X. D., J. Y. Yang, M. S. Zhao, G. L. Zhang, F. Liu and H. Y. Wu. 2019. Heuristic cellular automaton model for simulating soil organic carbon under land use and climate change: A case study in eastern China. *Agri. Ecosys. and Environ.* 269: 156-166.
- Syp, A., A. Faber, J. Kozyra, R. Borek, R. Pudelko, M. Borzęcka-Walker and Z. Jarosz. 2011. Modeling impact of climate change and management practices on greenhouse gas emissions from arable soils. *Pol. J. Environ. Stud.* 20: 1593-1602.
- Ussiri, D. A. N. and R. Lal. 2009. Long-term tillage effects on soil carbon storage and carbon dioxide emissions in continuous corn cropping system from an Alfisol in Ohio. *Soil Till. Res.* 104: 39–47.
- Uzoma, K. C., W. Smith, B. Grant, R. L. Desjardins, X. Gao, K. Hanis, M. Tenuta, P. Goglio and C. Li. 2015. Assessing the effects of agricultural management on nitrous oxide emissions using flux measurements and the DNDC model. *Agri. Ecosys. and Environ.* 206: 71–83.
- Zhang, L., J. Zheng, L. Chen, M. Shen, X. Zhang, M. Zhang, X. Bian, J. Zhang and W. Zhang. 2015. Integrative effects of soil tillage and straw management on crop yields and greenhouse gas emissions in a rice-wheat cropping system. *Euro. J. Agron.* 63: 47–54.
- UNEP. 2013. Drawing down N<sub>2</sub>O. To Protect Climate and the Ozone Layer.

## Effects of tillage methods on nitrous oxide ( $N_2O$ ) and ammonia ( $NH_3$ ) emission in cotton-wheat rotation in Darab area

A. Gheisari<sup>1</sup>, M.R. Asgharipour<sup>2</sup>, S.M. Mousavi Nik<sup>2</sup>, S.A. Ghanbari<sup>2</sup>

Received: 2019-12-26 Accepted: 2020-20-14

### Abstract

Conventional tillage methods with no yield increase lead to the loss of resources and emission of greenhouse gases into the environment. To determine the effects of different tillage methods on nitrous oxide ( $N_2O$ ) and ammonia ( $NH_3$ ) emissions in cotton-wheat rotation, an experiment was designed as a randomized complete block including three treatments with four replications at Darab Agricultural Research Station during 5 years. The treatments consisted of direct drilling (no tillage), minimum tillage, and conventional tillage (as control). After harvesting wheat in the no and minimum tillage treatments, 30% (weight) of wheat residues was retained on the field.  $N_2O$  and  $NH_3$  emissions from the cotton-wheat field were estimated using the DNDC 9.5 model in the last two years. Data of three initial years of the research were used for model validation. Results of model validation showed that the model worked well in simulating the soil environment and  $N_2O$  and  $NH_3$  emissions. The simulation results revealed that the highest and lowest  $N_2O$  emission rates was achieved under conventional and no-tillage treatments, respectively. Average annual  $N_2O$  emissions of 4.40, 2.80, and 2.14 kg N/ha/y were recorded in conventional, minimum, and no-tillage treatments, respectively. According to simulation results, peak emission of  $NH_3$  from soil occurred on five days after each fertilization in all three treatments. In general, results showed that no-tillage method was more favorable than other cotton cultural practices in cotton-wheat rotation in conditions similar to the present study.

**Keywords:** Greenhouse gas emissions, no-tillage, global warming, denitrification, DNDC model, nitrogen cycle

1- Ph.D. Student of Agroecology, Faculty of Agriculture, Zabol University, Zabol, Iran

2- Associated Professor, Department of Agronomy, Faculty of Agriculture, Zabol University, Zabol, Iran